

武藏工業大学 正会員 ○ 大野 春雄  
武蔵工業大学 正会員 川浦 繁

### I. 本研究の概要

交通公害の額を解決するためには、物理量的の側面からの評価方法、または社会心理学的側面(住民反応)からの質的評価方法等があるが、交通騒音問題では、前者の研究は多く行なわれている。また、本主題となる騒音被害意識の問題では、単なる騒音量のみに関係するものではなく、住民生活環境、個人属性等々も関係するものである。今回、後者の方法を取り、騒音被害意識の構造を把握し、騒音被害に対する社会反応の定量的関係を求めるよう進めて行くことが研究課題となる。前報文<sup>1)</sup>では、騒音被害意識の要因分析、判別予測等を数量化理論第2類を用いて行なった。これによると各種騒音被害形態に影響を及ぼす項目(アイテム)の序列などは明確に判明したが、各被害形態の相互関係(類似性)の問題や、再検討を要する最終計算に用いたデータのカテゴリの独立性の問題等が、次の課題となる。そこで、本研究では、前記の項を解明することに伴って、より詳細に被害意識構造を把握するため、数量化理論第3類を適用し、分析を行なう。

### II. 騒音被害意識の要因分析

資料は東京都内環状7号線沿道の7地域のアンケート調査結果であり、この項目は(表-1)の107行×30カラムで構成される。騒音による被害意識形態の項目は、睡眠妨害、日常会話妨害、テレビラジオ等の聴取妨害、騒音による焦躁感の4形態であり、その外的要因として被害程度をとり、妨害が頻繁にみられる「多くある」、「多い」の3分類に収集したものである。サンプル数は各形態約650である。

上記の資料に数量化理論第2類を適用した要因分析の結果によると、各被害形態とも共通して影響要因は、「環7との距離」、「家の構造様式」、「居住年数」等であり、明確に判明した。しかし、その他の項目は多くは、被害形態ごとに多少のレンジの変動があり、影響度合が異なる。例えば、「自動車の有無」の項目のレンジは、睡眠妨害 0.524、日常会話妨害 0.127、TV/RD聴取 0.427、焦躁感 0.022、である。このように被害形態ごとに変化する。また、「利用交通機関」、「寝室の位置」の項目でも、同様なことがある。判別予測モデルの判別境界値から各被害形態の特性を判断すると、(多くある)(頻繁にみる)の境界値とは、睡眠妨害 0.0、日常会話 0.0、TV/RD聴取 -0.2、焦躁感 0.2、と得られる。ここで、もしカテゴリスコアが各形態とも同値であると仮定した場合、この値は、被害意識をもつ敏感度の指標と考えられる。すなはち騒音被害への立場から悪条件による程、この値が大きくなり、0.2以上にあれば、全被害形態へ多く「頻繁にみる」グループに属される。

以上の事柄より問題提起すると、まず、この被害4形態の特性、傾向から、この形態を整理統合できるか。また、再検討課題として計算にも3回目資料(表-1)の1アイテム内のカテゴリ分けが適切であるか(独立性)などがある。これを解明していくには、各被害形態へ多くのカテゴリ(A1~R2)が、どのような性格とも組み立てられてゐるのかの構造を分析しなければならない。

### III. 騒音被害意識の構造分析

特性1グループと2被害程度(頻繁にみる)、(多くある)、(多くある)

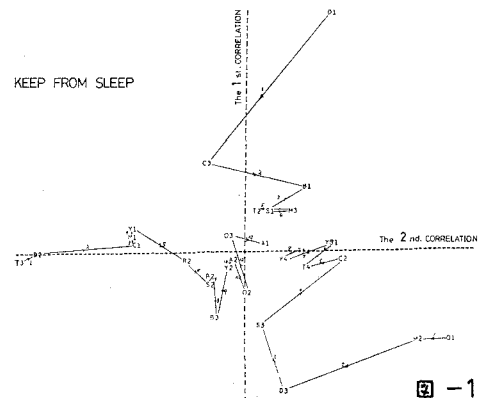


図-1

また、特性Ⅱグルーフとし、A1～R2までの30カテゴリーを、それらが被験形態別に数量化理論第3類で分析を行なう。特性Ⅰ、特性Ⅱと比較し、特性カテゴリー間の関係がどのように分布しているかを考察し構造を把握した。ここで特性Ⅰと特性Ⅱとの比較法として(1)式、親近性を示す指標を求め、判断基準とした。

$$d_{jk} = \sqrt{\sum_{\lambda=1}^n (\lambda X_j - \lambda X_k)^2} \quad — (1)$$

$d_{jk}$ : 特性Ⅰのjカテゴリーと特性Ⅱのkカテゴリー間の親近性指數

$\lambda X_j$ : 入番目の固有根に対するjカテゴリーのカテゴリー・バリュー

図1～図4は、第一相軸と第二相軸上に特性Ⅱのカテゴリーをプロットした図である。特性Ⅰ、特性Ⅱより「睡眠妨害」、「日常生活妨害」、「テレビ等の聴取妨害」の第一相軸は、妨害が頻繁である→右側の傾向をもつた軸(正方向；頻繁にある)と「騒音による焦躁感」では、第二相軸が、この軸(負方向；頻繁にある)と判断される。また前者3形態の第二軸は、騒音の習慣性軸(負方向；なかなか)と考えられる。つぎに、特性Ⅰと特性Ⅱとの親近性指數を用ひ、特性Ⅱのカテゴリーを頻繁にあるグルーフ、「左」あるいは「右」グルーフの3グルーフに分類した。その結果を(表-2)に示す。各被験形態と「表1との距離」では、特性Ⅰと強い関係がある。また、各グルーフに属されるカテゴリーのパターンは、「騒音による焦躁感」のみ、相違してみる。あとの3グルーフは類似性をもつている。形態別のアイム(項目)同士の類似性については、  
 〈睡眠妨害〉；「家の構造様式」「自動車」「表1との距離」  
 〈日常生活妨害〉；「表1との距離」「自動車保有」「騒音対策」「家庭の位置」「TV-LABO聴取時間」「家の構造様式」「表1との距離」「自動車保有」「騒音による焦躁感」「騒音による焦躁感」「表1との距離」「自動車保有」

以上が、同様の傾向をもつている。カテゴリー独自の類似性では、図1～図4を考察すると判断できる。(例より距離が近い分布を(2)(3)カテゴリー)このように、被験形態ごとのカテゴリーの組み立てが把握できる(図1～図4、表-2)。また、再検討課題のカテゴリー分けについての参考であるが、これまで(表-2)より「左」グルーフの方に同項目(アイム)のカテゴリーが存在しているか、そして、そのカテゴリーが、プロット図で近い位置にあるかによって判断した。

#### IV. あとがき

これらの結果をフィードバックして、調査資料の修正又はアンケート調査を行ない、分析することにより、精度の高い判別予測モデルの確立がとれると考えられる。また、騒音量と被験者意識との相互関係について、細部研究を進めた。

1) 参考文献：第3回林務省年次統計調査概要集77-120 川浦大輔「騒音7号線沿道住民に対する騒音被害意識の分析」P.229～P.230

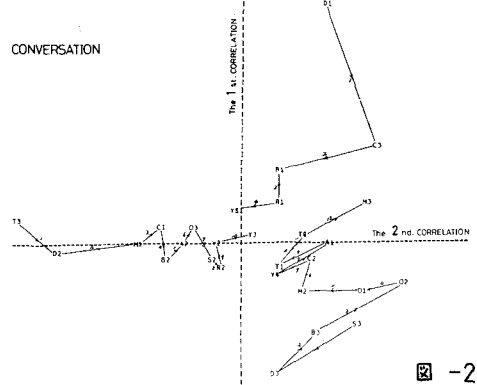


図-2

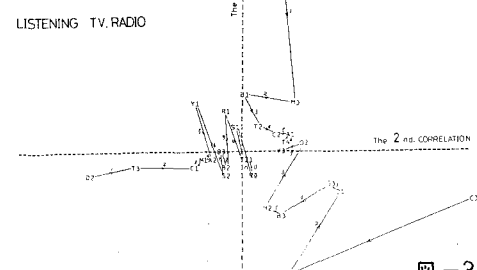


図-3

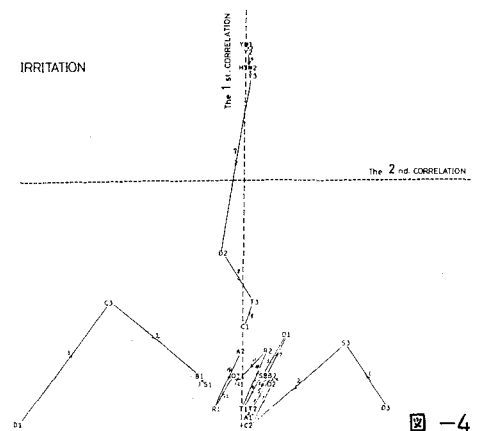


図-4

被験形態	被験 被害			日常生活妨害			TV-LABO聴取時間			騒音による焦躁感		
	被験	被験	被験	日常生活	日常生活	日常生活	TV-LABO	TV-LABO	TV-LABO	騒音による	騒音による	騒音による
1	D1	T3	C1	D1	T3	S3	D1	D2	C3	D1	Y1	D3
2	C3	D2	V2	C3	N2	D3	M3	T3	D3	C3	M1	S3
3	B1	C1	B3	B1	M1	B3	B1	C1	O1	H1	Y2	C1
4	S2	M1	S3	R1	C1	O2	T2	M1	S3	G1	Y4	O2
5	M3	Y1	C3	Y1	D2	O1	C2	A2	B3	M2	B2	
6	V2	R2	T4	S1	A2	M2	A1	Y1	M2	M3	T2	
7	S2	N1		O3	C2	T4	S2	O2		Y3	A1	
8	B2	Y3		S2	Y4		O3	Y3		D2	B3	
9	B3	Y4		R2	A1		R2			T3	O1	
10	Y2	T1		Y2	T1		R1			C1	S2	
11	A2			Y3	T4		Y2				T1	
12	O2				22		S1				R2	
13	O3				M3		R2				O3	
14	A1						Y4				T4	
15							T3				E1	
16											A2	
17												
18												

表-2